

2023-03-04

Channel 150

100

153

110

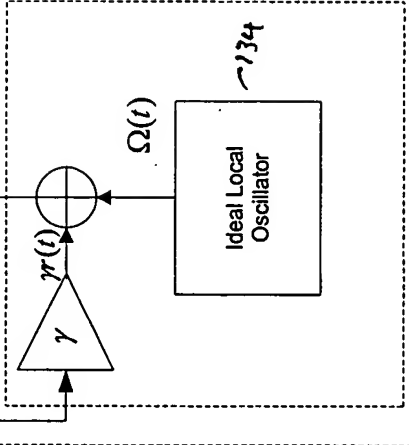
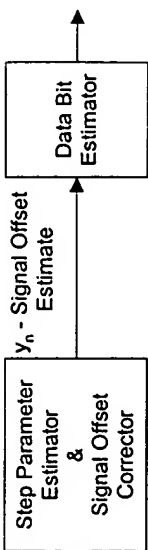
130

Receiver

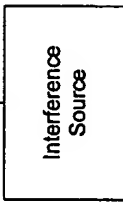
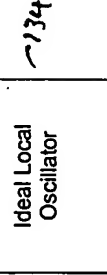
137

139

140



133



151

Fig. 1

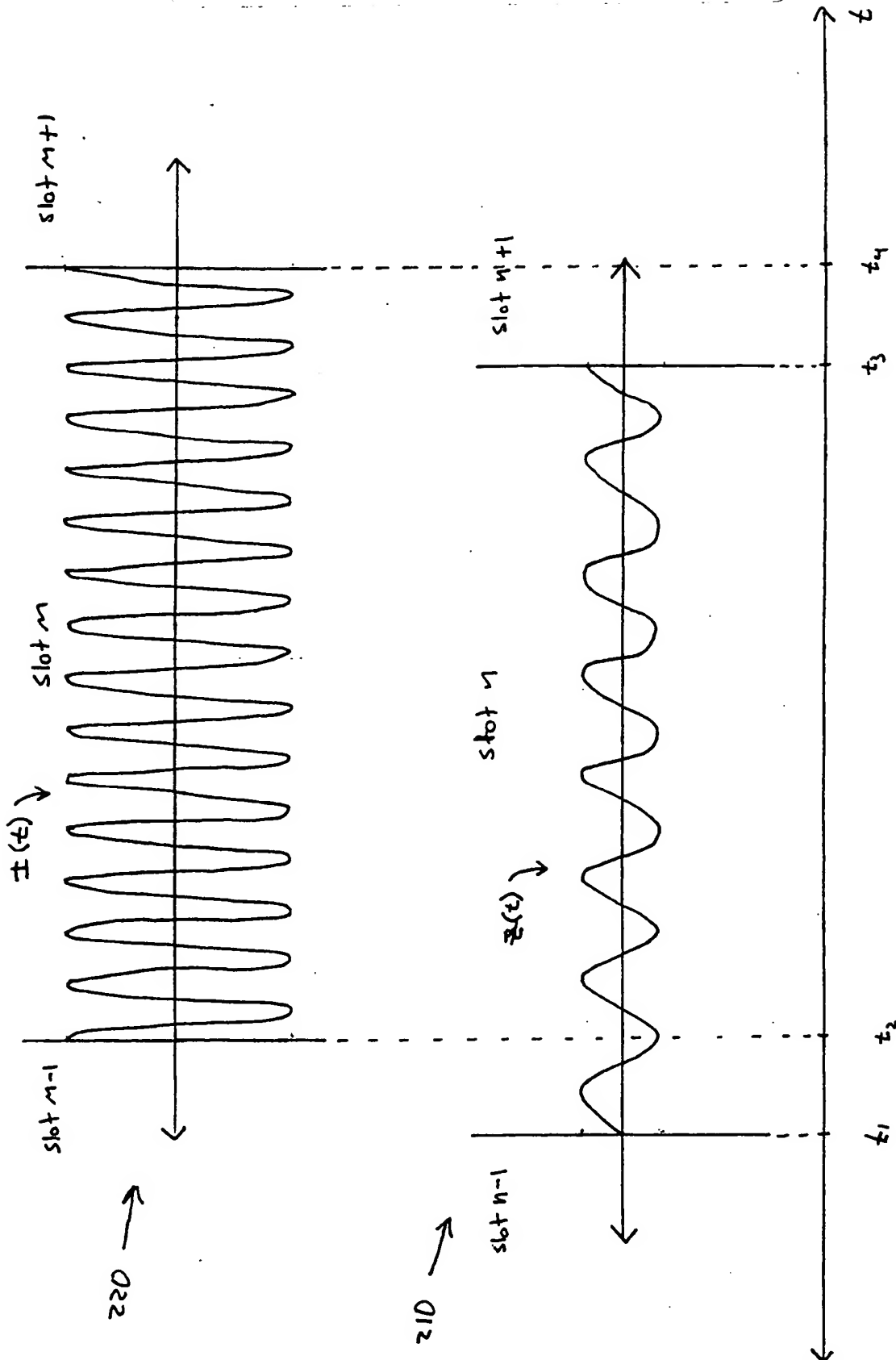
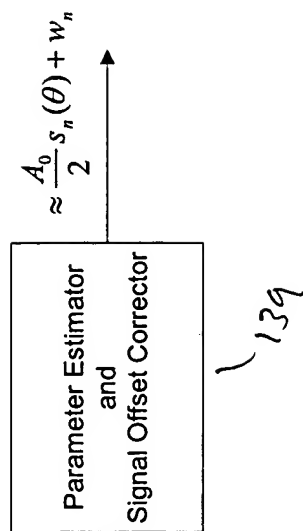


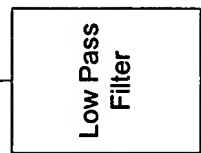
Fig. 2

2024-06-22 12:28:04

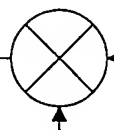
FIG. 3



$y_{low}(t) \approx \frac{A_0}{2} s(t) + \gamma^2(t) + w_{bb}$

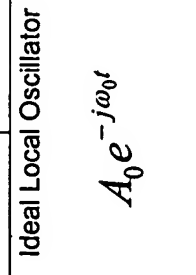
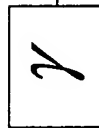


$y(t) \approx A_0[z(t) + I(t) + w(t)]e^{-j\omega_0 t} + \gamma^2(t)$



$A_0 e^{-j\omega_0 t} + \gamma[z(t) + I(t) + w(t)]$

$\gamma[z(t) + I(t) + w(t)]$



333

Fig. 3

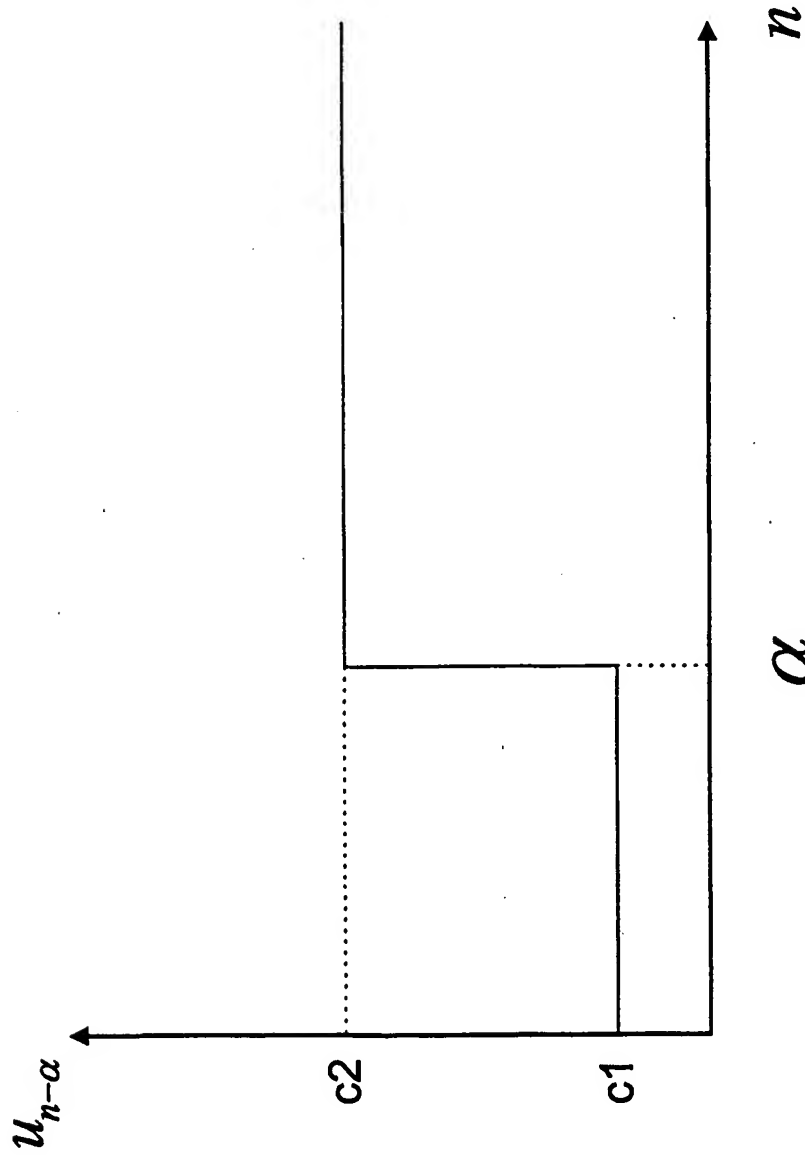


FIG. 4

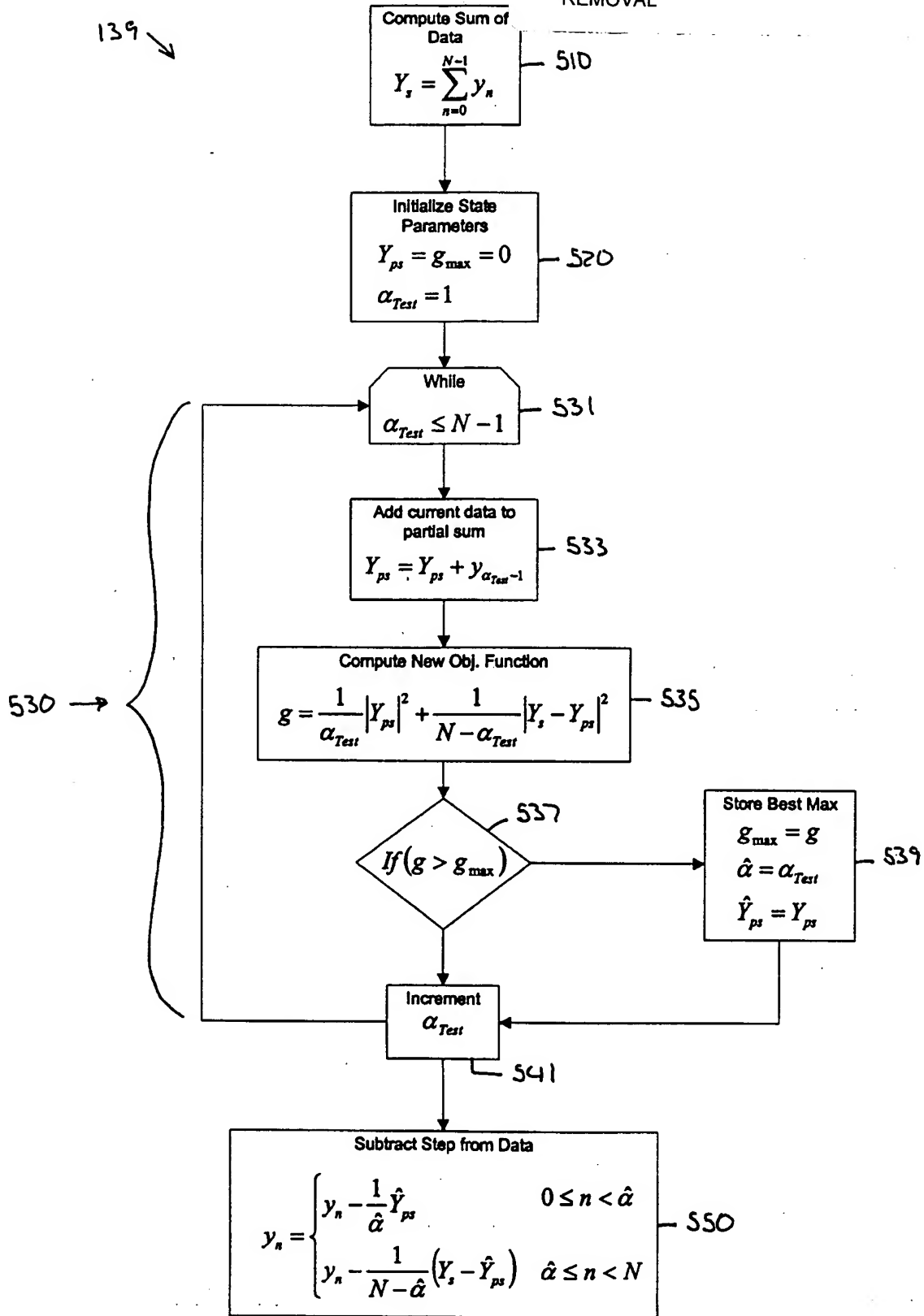


Fig. 5